

# プログラムの制御フローに基づくテスト・ケース設計法

大場 充 (日本アイ・ビー・エム(株)サイエンス・インスティテュート)

## 1. はじめに

プログラムが大規模になると、その制御構造が複雑になるため、全てのプログラム・パス(経路)を網らするテスト・ケースを実行することは、時間の面で現実的でなくなる。実際に、一定以上のプログラム・パスを網らし終わると、それ以後のテスト・ケースの実行によるエラーの発生(発見)確率(エラー発見率)は急激に低下する。そのため、累積発見エラー数の成長曲線は、図1のように通常の指数型成長曲線とは、似て非なるものとなる。テスト・ケースの単位実行当りのエラー発見率が一定であれば、観測されるエラー発見の成長曲線は、指数型でなければならぬ。

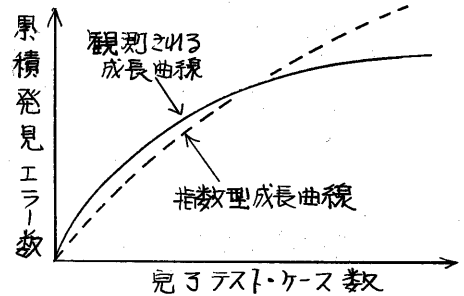


図1. テストケースとエラー発見数

従って、テスト・ケースの設計に際しては、どのようなパスを通るテスト・ケースを選択するかが問題となる。本報告では、実験計画法でよく用いられている直交表を応用することによって、プログラムの制御構造をもとに、効率のよいテスト・ケースを設計する方法について考察する。

## 2. プログラムの制御構造とテスト・ケースの関係

例として、図2に示されるような、木構造型制御フローをもつプログラムと、図3に示されるような、鎖構造型制御フローをもつプログラムを考える。

```

begin
:
if P1
then if P2
then if P3
then S1;
else S2;
else if P4
then S3;
else S4;
else if P5
then if P6
then S5;
:
end
  
```

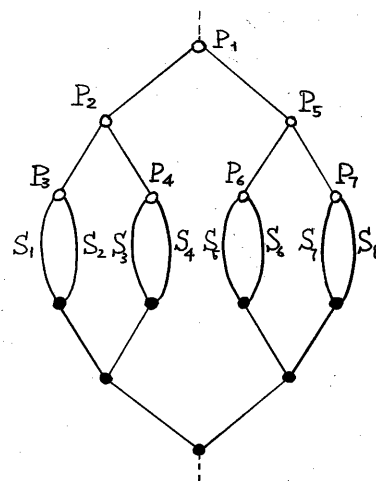


図2. 木構造型制御フローの例

```

begin
:
if P1
then S1;
else S2;
if P2
then S3;
else S4;
if P3
then S5;
else S6;
if P4
then S7;
else S8;
:
end

```

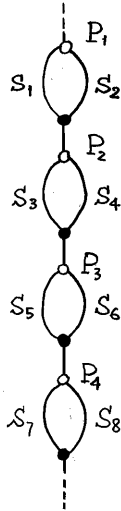


図2のような木構造型制御フローをもつプログラムでは、7個の判定があり、全てのパスを網らするためには、8通りのテスト・ケースが必要である。一般的には、木構造型制御フローの場合、 $n$ 個の判定に対して、 $n+1$ 個のテスト・ケースが必要となる。

図3のような鎖構造型制御フローをもつプログラムでは、4個の判定があり、全てのパスを網らするためには、以下の16通りのテスト・ケースが必要となる：

- 1)  $S_1 \cdot S_3 \cdot S_5 \cdot S_7$ ,
- 2)  $S_1 \cdot S_3 \cdot S_5 \cdot S_8$ ,
- 3)  $S_1 \cdot S_3 \cdot S_6 \cdot S_7$ ,
- 4)  $S_1 \cdot S_3 \cdot S_6 \cdot S_8$ ,
- 5)  $S_1 \cdot S_4 \cdot S_5 \cdot S_7$ ,
- 6)  $S_1 \cdot S_4 \cdot S_5 \cdot S_8$ ,

図3. 鎖構造型制御フローの例

- 7)  $S_1 \cdot S_4 \cdot S_6 \cdot S_7$ ,
- 8)  $S_1 \cdot S_4 \cdot S_6 \cdot S_8$ ,
- 9)  $S_2 \cdot S_3 \cdot S_5 \cdot S_7$ ,
- 10)  $S_2 \cdot S_3 \cdot S_5 \cdot S_8$ ,
- 11)  $S_2 \cdot S_3 \cdot S_6 \cdot S_7$ ,
- 12)  $S_2 \cdot S_3 \cdot S_6 \cdot S_8$ ,
- 13)  $S_2 \cdot S_4 \cdot S_5 \cdot S_7$ ,
- 14)  $S_2 \cdot S_4 \cdot S_5 \cdot S_8$ ,
- 15)  $S_2 \cdot S_4 \cdot S_6 \cdot S_7$ ,
- 16)  $S_2 \cdot S_4 \cdot S_6 \cdot S_8$ .

一般的には、鎖構造制御フローの場合、 $n$ 個の判定に対して、 $2^n$ 個のテスト・ケースが必要となる。

図2のような木構造型制御フローをもつプログラムでは、8通りのテスト・ケース全てを実行完了するまで、プログラムの品質については何も言えない。未実行のパスにエラーが存在する可能性が大きいからである。例として、図2のプログラムの、 $S_1$ から $S_8$ までの全てのパスにエラーが存在すると考える。ここで、 $S_1$ から $S_8$ を通るように設計されたテスト・ケースを順次実行すると、1番目から8番目までのテスト・ケースで除去されるエラーの累積数は、図4のようになる。

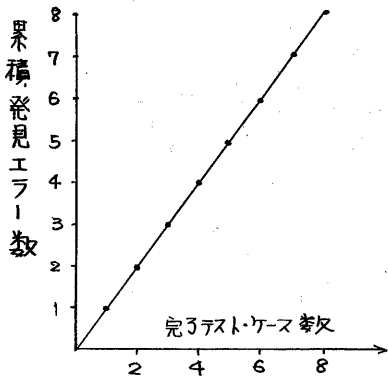


図4. 木構造型制御フローの例

図3のような鎖構造型制御フローをもつプログラムでは、テスト・ケースの設計法によって、最少の場合では、2通りのテスト・ケースを完了した時点で、プログラムの品質についての予測ができる。以下のように、 $S_1$ から $S_8$ までの全てのステートメントを最少の回数で網らすればよいからである。

- 1)  $S_1 \cdot S_3 \cdot S_5 \cdot S_7$ ,
- 2)  $S_2 \cdot S_4 \cdot S_6 \cdot S_8$ .

例として、図3のプログラムの、 $S_1$ から $S_8$ の全てのステートメントにエラーが存在すると考える。ここで、前述の16通りのテスト・ケースと、最少の2通りのテスト・ケースを順

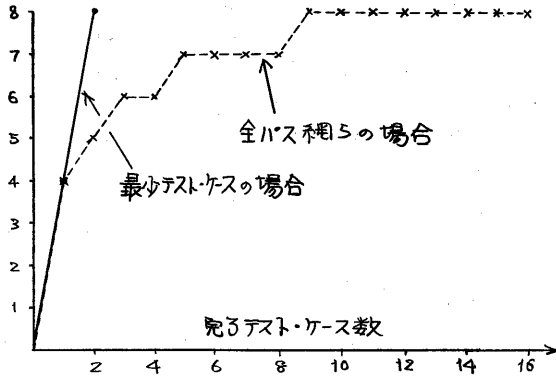


図5. 鎖構造型制御フローの例

次に実行したとすれば、除去されるエラーの累積数は、図5のようになる。全てのパスを網らするテスト・ケースのエラー発見率の低下が、図5によく示されている。

上述の2つの例では、エッジのカバレッジが100%になった時点で、全てのエラーが発見されることを仮定している。鎖構造型制御フローをもつプログラムでは、プログラム・パスを網らするのに必要なテスト・ケー

ス数と、エッジを網らするのに必要最小なテスト・ケース数との間に大きな差がある。

### 3. テスト・ケースの設計

木構造型制御フローをもつプログラムでは、プログラム・パスを網らするテスト・ケースが必要である。木構造型制御フローをもつプログラムに存在する、プログラム・パスの総数は、一般に判定文の数を $n$ とするとき、 $n+1$ 個である。この場合、プログラム・パスが網らされないうちは、エッジも網らされないことが特徴である。図6に示される制御フローをもつプログラムのテストに必要な、最少のテスト・ケースの集合は、図7の4つのパスを通るものでなければならない。

鎖構造型制御フローをもつプログラムでは、エッジを網らするテスト・ケースが、最少テスト・ケースであり、パスを網らするテスト・ケースが、最大テスト

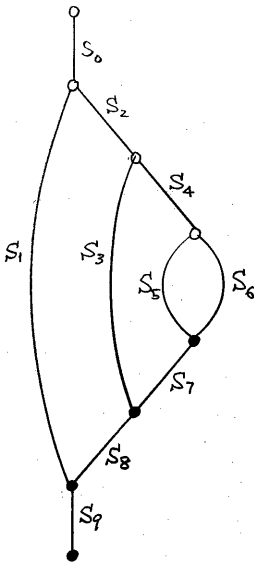


図6. 例題プログラム1

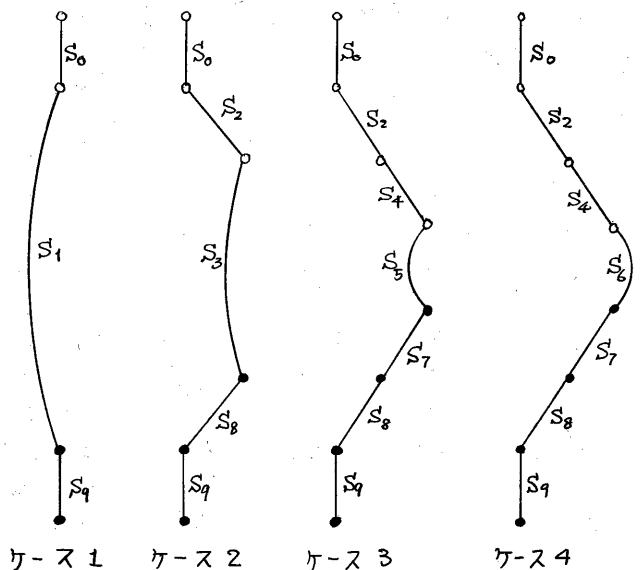


図7. 例題プログラム1のテスト・ケース

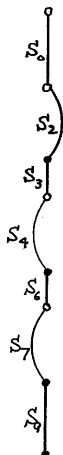
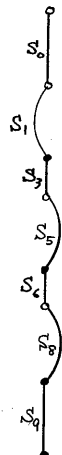
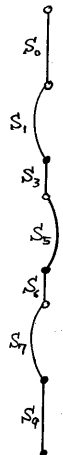
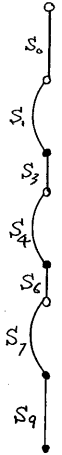
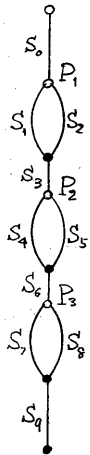


図8. 例題プログラム2

ケース1

ケース2

ケース3

ケース4

ケース5

ケース6

ケースである。エッジの網らのためには、互いに素なテストケース（ケース1とケース2，ケース3とケース8，ケース4とケース7，ケース5とケース6）の組を用いれば十分である。ところが、鎖構造型制御フローをもつプログラムでは、エッジ間に相互作用をもつ可能性がある。例えば、エッジ  $S_1$  で設定した値によって、エッジ  $S_9$  での演算が変化することがある（エッジ  $S_1$  の計算が行列のインデックスを決定し、 $S_9$  でその要素  $\lambda$  の代入が実行されるなど）。従って、鎖構造型制御フローをもつプログラムの場合、エッジの網らだけでは十分ではない。

ここで、鎖構造型制御フローをもつプログラムで、任意の2つのエッジ間の相互作用で発生するエラーを、発見するのに必要十分な最少テスト・ケースを考える。前述のように、

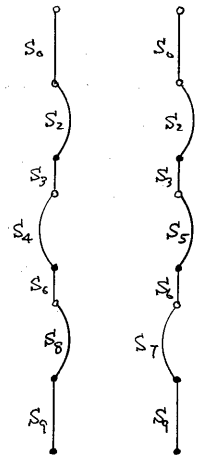
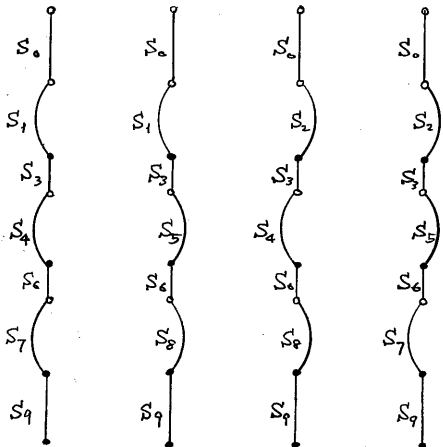


図9のケース1と2，ケース3と8，ケース4と7，ケース5

ケース7 ケース8  
図9. テスト・ケース



と6は、互いに相補的な関係にある。従って、これらの組の一方をとれば、他方は冗長となる。すなわち、4つのテストケースで十分となる。さらに、上記の各組でのエッジの出現（テスト）回数をバランスするようにとると、図10の4つのテスト・ケースが最良の組合せの1つとなる。図10の4つのテスト・ケースでは、 $S_1$  と  $S_2$ ,  $S_4$  と  $S_5$ ,  $S_7$  と  $S_8$  の出現回数がバランスしている。この場合、図9の8つのケースのうち、ケース1, 5, 7, と8の4つが選択されている。

図10. 相互作用を考慮したテスト・ケース

ところで、図10で与えられるテスト・ケースは、一般に、直交表で与えられる組合せの解と同じである。図8の判定文、 $P_1$ 、 $P_2$ 、 $P_3$ において、 $P_1$ が真の場合を $S_1$ 、 $P_2$ が真の場合を $S_4$ 、そして $P_3$ が真の場合を $S_7$ とする。 $L_4$ の直交表(表1)の1を真(T)、2を偽(F)とすれば、表2のテスト・ケース・マトリクスが得られる。

表1. 直交表 $L_4$

	1	2	3
1	1	1	1
2	1	2	2
3	2	1	2
4	2	2	1

表2. テスト・ケース・マトリクス

	$P_1$	$P_2$	$P_3$
1	T( $S_1$ )	T( $S_4$ )	T( $S_7$ )
2	T( $S_1$ )	F( $S_5$ )	F( $S_8$ )
3	F( $S_2$ )	T( $S_4$ )	F( $S_8$ )
4	F( $S_2$ )	F( $S_5$ )	T( $S_7$ )

図10のテスト・ケース、または表2のよりに直交表を用いて設計されたテスト・ケースでは、 $P_1$ と $P_2$ 、 $P_2$ と $P_3$ 、 $P_1$ と $P_3$ の任意の組合せに対して、全ての場合が網らされている。すなわち、図8の例題の場合、表3、表4、表5のとうりである。

表3.  $P_1 \times P_2$

	$P_1$	$P_2$
1	T( $S_1$ )	T( $S_4$ )
2	T( $S_1$ )	F( $S_5$ )
3	F( $S_2$ )	T( $S_4$ )
4	F( $S_2$ )	F( $S_5$ )

表4.  $P_2 \times P_3$

	$P_2$	$P_3$
1	T( $S_4$ )	T( $S_7$ )
3	T( $S_4$ )	F( $S_8$ )
4	F( $S_5$ )	T( $S_7$ )
2	F( $S_5$ )	F( $S_8$ )

表5.  $P_1 \times P_3$

	$P_1$	$P_3$
1	T( $S_1$ )	T( $S_7$ )
2	T( $S_1$ )	F( $S_8$ )
4	F( $S_2$ )	T( $S_7$ )
3	F( $S_2$ )	F( $S_8$ )

表3、4、5より明らかのように、図8の2つのエッジの組合せによって発生するエラーがあっても、図10の4つのテスト・ケースが実行されれば、そのエラーは発見できる。ただし、図10または表2の4つのテスト・ケースが実行されたとしても、3つのエッジの組合せでしか発生しないエラーがあれば、その

エラーを発見することは保証されない。例えば、図9のケース2のパスでのみ発生するエラーがあるとするば、そのエラーは、図10の4つのテスト・ケースでは発見不能である。

#### 4. 直交表によるテスト・ケースの性質

直交表を用いて設計されたテスト・ケースでは、一般に以下の関係が成立する。

$$n + 1 \leq 2^m \quad (4.1)$$

ここで、 $n$ は鎖構造型制御フローでの判定文の個数、 $m$ は自然数である。(4.1)式は、 $2^m$ 通りのテストで、 $n$ 個の判定文をもつ鎖構造型制御フローをもつプログラムをテストすることができる。このとき、直交表を用いることにより、(4.1)式を満足する最少の $m$ を求めることができる。すなわち、3個の判定文であれば、テスト・ケース数は、 $m=2$ で、4となる。また、7個の判定文があれば、テ

ト・ケース数は、 $m = 3$ で、8となる。表6に、直交表 $L_8$ を示す。直交表 $L_8$ では、 $m = 3$ で、3つのエッジの相互作用によって発生する、全てのエラーを発見する能力のあるテスト・ケースを設計できる。ただし、4つ以上のエッジの相互作用によって発生するエラーの発見は保証されない。

直交表を用いて設計されたテスト・ケースは、最良の場合、(4.1)式の関係より、

$$n+1 = 2^m, \quad (4.2)$$

が成立する。このとき、テスト・ケースの最少数は、制御フローの構造によらず、 $n+1$ となる。しかし、最悪の場合でも、

$$n = 2^{m-1}, \quad (4.3)$$

が成立するので、テスト・ケースの最少数の上限は、 $2n$ である。例えば、 $n$ が4のとき、テスト・ケースの最少数は、8となる。従って、一般的に $n$ 個の判定文をもつプログラムに必要な最少のテスト・ケース数 $N$ は、

$$n+1 \leq N \leq 2n, \quad (4.4)$$

となる。

ところで、パスを網らするテスト・ケースの数は、鎖構造型制御フローをもつプログラムでは、 $2^n$ となるので、直交表によるテスト・ケースの設計により、必要テスト・ケース数を、 $2^{n-m}$ 分の1にすることができ。例えば、 $n = 8$ の場合、 $m = 4$ であるから、テスト・ケース数は、16分の1 (256ケースに対して16ケース) でよいことになる。

### 5. 複合型制御フローをもつプログラムの場合

現実のテスト対象プログラムは、木構造型制御フローまたは鎖構造型制御フローだけから成るわけではなく、2つの構造の複合したものや、ループ構造をもつものが多い。ここでは、そのような複合構造をもつプログラムに対して最良のテスト・ケース集合を与える設計法を考える。

図11に、ループ構造の内部に、鎖構造をもつ、複合構造のプログラム例を示す。ループ構造内に部分構造を含む場合(この場合、WHILE型かまたは、UNTIL型のループを考える)、そのプログラムをテストするためには、2回以上ループ内側を通らなければ、エッジ間の相互作用をテストすることはできない。従って、図11の例のような構造をもつプログラムの場合、図12に示されるような、構造的には図11のプログラムの部分に等価な構造をもつプログラムの、最良のテスト・ケースを設計すればよいことになる。

図11のループ内に含まれてる、鎖構造をもつ判定文の個数を3とすれば、図12の等価構造をもつプログラムの判定文の個数は7個である。従って、テストに必要なテスト・ケースの総数は、直交表 $L_8$ より、8ケースとなる。これに対して、全パス網らのテスト・ケースを考えると、必要となるテスト・ケースの総数

表6. 直交表 $L_8$

テスト	1	2	3	4	5	6	7
1	1	1	1	1	1	1	1
2	1	1	1	2	2	2	2
3	1	2	2	1	1	2	2
4	1	2	2	2	2	1	1
5	2	1	2	1	2	1	2
6	2	1	2	2	1	2	1
7	2	2	1	1	2	2	1
8	2	2	1	2	1	1	2

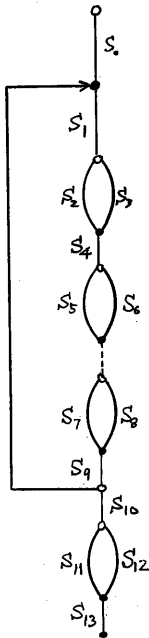


図11. N-アの例

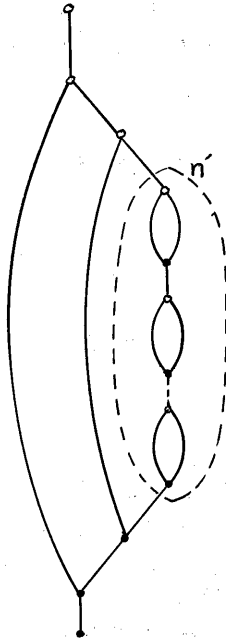


図13. 複合構造の例1

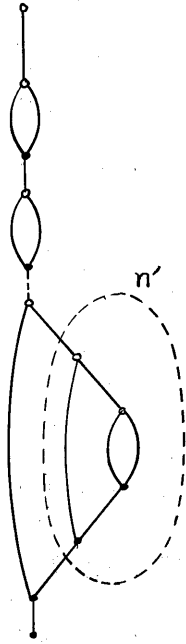


図14. 複合構造の例2

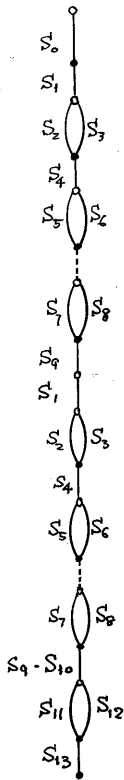


図12. 等価構造

は、128ケースとなる。従って、直交表を用いたことにより、テスト・ケースの総数は、16分の1となる。

図13に、木構造型制御フローの内部に、鎖構造型制御フローを含む、複合構造プログラムの例を示す。この例の場合、全体の判定文の総数を $n$ 、鎖構造型制御フローをもつ部分の判定文の総数を $n'$ とすれば、パスを網らるるのに必要なテスト・ケースの総数は、

$$n - n' + 2^{n'} \quad (5.1)$$

で与えられる。図13で、 $n'$ を3とすれば、テスト・ケースの総数は、10 ( $5 - 3 + 2^3$ )となる。

これに対して、直交表を用いた場合のテスト・ケース数は、

$$n - n' + 2^m, \quad (m = \text{Min}_m \{ n'+1 \leq 2^m \}) \quad (5.2)$$

となる。図13で、 $n'$ を3とするとき、テスト・ケースの総数は、 $m$ が2 ( $3+1 = 2^2$ )であることから、6 ( $5 - 3 + 2^2$ )となる。

実際のテスト・ケースの設計は、鎖構造部分を除いた木構造で考え、 $n - n'$ 個のテスト・ケースを生成する。次に、残りの鎖構造部分に対するテスト・ケースを直交表を用いて設計して、木構造の最後のパスと結合すればよい。

図14に、鎖構造型制御フローの内部に、木構造型制御フローを含む、複合構造プログラムの例を示す。この例の場合、全

ての判定文の数を  $n$  , 木構造型制御フローをもつ部分の判定文の総数を  $n'$  とすれば, パスを網らるるのに必要なテスト・ケースの総数は,

$$2^{n-n'-1} \times \{(n'+1)+1\}, \quad (5.3)$$

で与えられる. 図4で,  $n$  を5,  $n'$  を2とすれば, テスト・ケースの総数は, 16 ( $2^{5-2-1} \times \{(2+1)+1\}$ ) となる.

これに対して, 直交表を用いた場合のテスト・ケース数は,

$$2^m + 2^{m-1} \times (n'+1) = 2^{m-1} (n'+3), \quad (5.4)$$

で与えられる. 図4で,  $n$  を5,  $n'$  を2とすれば,  $m$  が  $2(3+1=2^2)$  であることから, テスト・ケース数は, 10 ( $2^{2-1} (2+3)=10$ ) となる.

## 6. まとめ

$n$  個の判定文をもつ鎖構造型制御フローは, 直交表を用いることにより, 最少で  $n+1$  , 最大でも  $2n$  個のテスト・ケースでテストできることが示された.

鎖構造と木構造の違いによる, 必要テスト・ケース数の差 ( $2^n$  と  $n+1$ ) は, エッジの網ら度とパスの網ら度との関係による. 逆に言えば, 木構造を主体としたプログラムの場合には, エッジ相互の副作用が少ないので, エッジの網らで十分な評価ができる. これに対して, 鎖構造を主体としたプログラムの場合には, エッジ間の相互作用のため, エッジの網らでは, 十分な品質評価は不可能となっている.

このことは, プログラムの複雑性とも深い関係があると考えられる. 構造によっては, 判定文の個数だけでは複雑性の評価はできない. テスト・ケース数との対比で考えれば, 鎖構造は木構造の少くとも2倍, 複雑であると言える.

## 参考文献

- 1) 大場「プログラムの制御フローに基づくテスト・ケース設計法」第28回全国大会 4k-4.
- 2) 広田他「制御変数に着目したデータフロー解析とその応用」第26回全国大会 1j-5.
- 3) 黒田他「プログラムのパスに基づくテスト法の有効性評価」第27回全国大会 4c-8.